

## 2,3の回路例と回路の正則化について

徳大工電子 川上 博

早大理工電気 松本 隆

### 1. はじめに

昨年の集会の際 筆者の一人(川上)は、相反するRC回路で周期解を持ち得るであろう回路例をえた。これをきっかけにいくつかの例、および関連する問題を考えた。

回路例を述べるまえに、使用する記号、記法を定める意味で簡単に回路のダイナミクスに関する式化を要約しておく、[1], [2], [3]などを参照。回路のダイナミクスは抵抗特性と Kirchhoff の法則より定まるなめらかな多様体  $\Sigma$  を state space として展開される。すなわち回路の状態方程式として

$$\pi^* G(\frac{dx}{dt}, Y) = \omega(Y) \quad \forall Y \in T\Sigma$$

ここで

$\omega$ :  $\Sigma$  上の 1-form,

$x(t)$ : 時刻  $t$  における回路の状態  $x(t) \in \Sigma$

$$\pi: \Sigma \rightarrow \mathbb{R}^\lambda \times \mathbb{R}^\gamma \quad \text{differentiable map}$$

$$x \mapsto (c_L, v_C)$$

$\mathbb{R}^\lambda$ : インダクタ電流  $i_L$  のつくる空間

$\mathbb{R}^\gamma$ : キャパシタ電圧  $v_C$  のつくる空間

$$\dim \Sigma = \lambda + \gamma$$

$\Theta: \mathbb{R}^\lambda \times \mathbb{R}^\gamma$  上の symmetric nondegenerate bilinear form.

$\omega$  が "closed" である回路は相反と呼ばれている。したがって  $\Sigma$  が 単連結な相反回路は  $\pi^* G$  に関する gradient 系となる:  $\omega = dP$ 。特に RC 回路では  $G$  が 正値なので  $\pi^* G$  が nonsingular かつ  $\Sigma$  が 単連結な場合には periodic orbit を持つこと ができるに注意する。

そこで 以下に述べる例は次の事柄を考えながら作った:

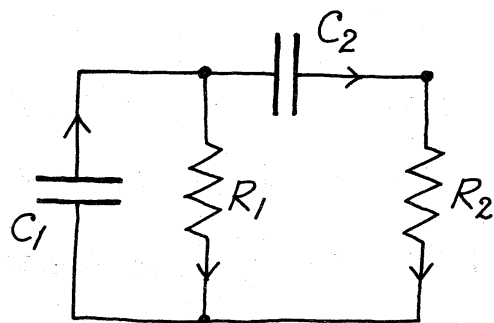
- (1) RC 回路で periodic orbit を持つ回路,
- (2)  $\pi^* G$  a singularity,  $\Sigma$  の 単連結性,  $\omega$  が "closed" かどうかなどと periodic orbit の 有無,
- (3)  $\pi^* G$  が singularity が生じる回路の正則化 (regularization)

もちろんこれらの事柄から脱線した例もある。

## 2. RC 回路の例

(2.1) Periodic orbit を持つ RC 回路:

まず  $\pi^*G$  が "nonsingular,  $\omega$  が" closed なのに  $\sum$  が"单連結で"ないために periodic orbits を持ってしまう回路の例を述べる。



左図の回路を考えよう。

Kirchhoff の法則は

$$\dot{i} = (i_{C1}, i_{C2}, i_{R1}, i_{R2})$$

$$\dot{U} = (U_{C1}, U_{C2}, U_{R1}, U_{R2})$$

とおき

$$\begin{cases} i_{C1} - i_{R1} - i_{R2} = 0 \\ i_{C2} - i_{R2} = 0 \end{cases} \Leftrightarrow Q\dot{i} = 0$$

$$\begin{cases} U_{R1} + U_{C1} = 0 \\ U_{R2} + U_{C1} + U_{C2} = 0 \end{cases} \Leftrightarrow B\dot{U} = 0$$

今  $\chi: \mathbb{R}^4 \times \mathbb{R}^4 \rightarrow \mathbb{R}^2$  を定義して 拘束の枝特性  $\Lambda_P$  を  
 $(i, U) \mapsto (U_{R1}, U_{R2})$

$$\Lambda_P = \left\{ (i, U) \in \mathbb{R}^4 \times \mathbb{R}^4 \mid \begin{array}{l} i_{R1} = f_1(U_{R1}, U_{R2}) = \frac{U_{R2}}{U_{R1}^2 + (U_{R1} - U_{R2})^2} \\ i_{R2} = f_2(U_{R1}, U_{R2}) = \frac{-U_{R1}}{U_{R1}^2 + (U_{R1} - U_{R2})^2} \end{array} \right\}$$

とする。  $\Lambda_P$  は单連結でないことに注意。

$$\Sigma = \left\{ (i, U) \in \mathbb{R}^4 \times \mathbb{R}^4 \mid Q\dot{i} = 0, B\dot{U} = 0 \right\} \cap \Lambda_P$$

$$= \left\{ (f_1 + f_2, f_2, f_1, f_2, v_{c_1}, v_{c_2}, -v_{c_1}, -v_{c_1}, -v_{c_2}) \in \mathbb{R}^4 \times \mathbb{R}^4 \mid v_{c_1} \neq 0, v_{c_2} \neq 0 \right\}$$

したがって  $\pi: \Sigma \rightarrow \mathbb{R}^2$  は local diffeo となり,  $\pi^*G$  は nonsingular positive definite となる。簡単のため  $c_1 = c_2 = 1$  においてタイタニクスをみると:

$$\begin{aligned} \frac{dv_{c_1}}{dt} &= \frac{-v_{c_2}}{v_{c_1}^2 + v_{c_2}^2} \\ \frac{dv_{c_2}}{dt} &= \frac{v_{c_1}}{v_{c_1}^2 + v_{c_2}^2} \end{aligned} \tag{*}$$

となる。また  $\frac{\partial}{\partial v_{c_2}} \left( \frac{-v_{c_2}}{v_{c_1}^2 + v_{c_2}^2} \right) = \frac{\partial}{\partial v_{c_1}} \left( \frac{v_{c_1}}{v_{c_1}^2 + v_{c_2}^2} \right)$  なり

$\omega$  は closed である。ところが  $\omega$  は  $v_{c_1}$  軸からのお角度  $\theta$  から  
つくれる 1-form なので exact ではない。明らかに (\*) は

$$v_{c_1}^2 + v_{c_2}^2 = r^2 \quad (r \text{ は定数 } > 0)$$

なる periodic orbit を持つ。実際

$$v_{c_1}(t) = \frac{1}{r} \cos t, \quad v_{c_2}(t) = \frac{1}{r} \sin t$$

は (\*) の周期解である。

(注) 抵抗特性  $f: \mathbb{R}^2 \rightarrow \mathbb{R}^2$ ;  $(v_{R1}, v_{R2}) \mapsto (i_{R1}, i_{R2}) = (f_1(v_{R1}, v_{R2}), f_2(v_{R1}, v_{R2}))$ , ならびに differentiable map ならば  $\pi: \Sigma \rightarrow \mathbb{R}^2$  は  
global diffeo となり  $\pi^*G$  はつねに nonsingular である。いい  
かえると 抵抗特性が電圧制御型ならばこの例にみら  
れる接続関係にあたる回路の回路方程式はうまく定義できる。

(2.2)  $\omega$  が "closed" でない RC 回路

トランジスタや増幅器のような能動素子を含む回路では  $\pi^*G$  が "nonsingular",  $\sum$  が 単連結であるが "closed" でない場合が一般的である。このような場合には回路には periodic orbit が存在する場合も、そうでない場合もどちらもあり得る。

(2.1) の例で抵抗特性として次のものを考えよ:

$$\Lambda_P = \left\{ (i, v) \in \mathbb{R}^4 \times \mathbb{R}^4 \mid i_{R1} = G_1 v_{R1}, \quad i_{R2} = G_2 v_{R2} + f(v_{R1}) \right\}$$

ここで  $f: \mathbb{R} \rightarrow \mathbb{R}$  はなめらかとする。

(2.1)(主) にヨリ二つの回路のダイナミクスはうまく定義されて

$$C_1 \frac{d^2 v_{C1}}{dt^2} = - (G_1 + G_2) v_{C1} - G_2 v_{C2} + f(-v_{C1}) \quad (*)$$

$$C_2 \frac{d^2 v_{C2}}{dt^2} = - G_2 v_{C1} - G_2 v_{C2} + f(-v_{C1})$$

ところが明らかに  $f \neq 0$  (or const) のとき  $\omega$  が closed でない。この例で (\*) は  $f$  の非線形性により periodic orbit を持つこともそうでないこともあり得る。たとえば  $C_1 = C_2 = G_1 = G_2 = 1$ ,  $f(v_{R1}) = -(3+\mu)v_{R1} + \frac{\mu}{3}v_{R1}^3$  ( $\mu > 0$ ) とすると (\*) は  $v_{C1}$  は van der Pol の方程式:

$$\ddot{v}_{C1} - \mu(1 - v_{C1}^2) \dot{v}_{C1} + v_{C1} = 0$$

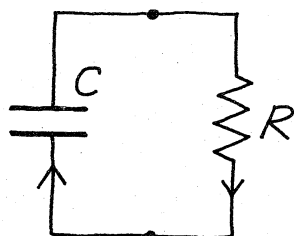
となる。  $f$  の特性を変えて limit cycle を持たない回路の得られるこことは容易にわかる。

(2.3)  $\pi^*G$  が singularity を生じる RC 回路

右図のような最も簡単な RC 回路を考えよう。Kirchhoff の法則は

$$i_C - i_R = 0$$

$$U_R + U_C = 0.$$



チャラニタの特性は線形であるとする:  $C \frac{dU_C}{dt} = i_C$ .

抵抗特性として

$$(i) \quad i_R = g(U_R) \quad (\text{電圧制御型})$$

$$(ii) \quad U_R = f(i_R) \quad (\text{電流制御型})$$

$$(iii) \quad f(U_R, i_R) = 0$$

の各場合について考える。

(i)  $i_R = g(U_R)$  の場合:

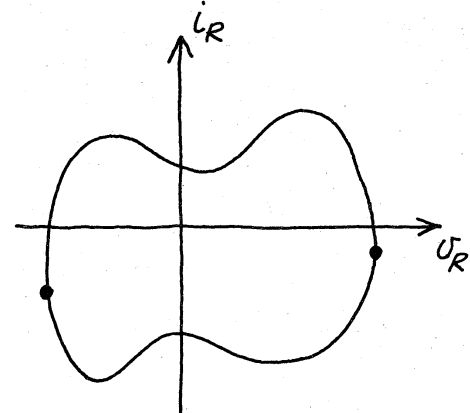
ベクトル場はうまく定義できる。すなわち回路のダイナミクスは

$$C \frac{dU_C}{dt} = f(-U_C).$$

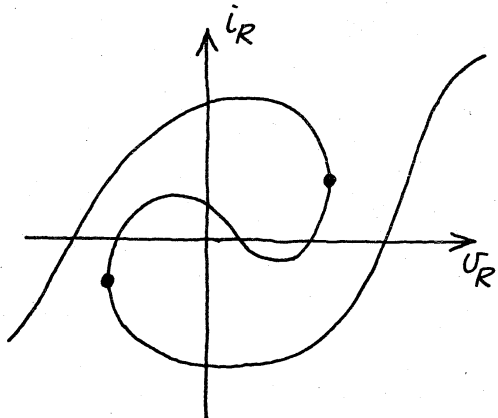
(ii)  $U_R = f(i_R)$  の場合:

非線形性が強くなると  $\pi^*G$  が singular となる点、すなわち  $\pi^*G$  が singular となる点の生じることがある。S. Smale [1] の EX. 3 をみよ。

(iii)  $f(u_R, i_R) = 0$  の場合:



$(u_R, i_R) \in \mathbb{R}^2$  で特性が左図のような場合には  $\pi^*G$  が "singular" となる点 (黒丸) が生じてしまう。しかし次の例にみられるような非常に特別な場合にはベクトル場をうまく定め得ることがある。



今特性が原点を中心とする円の場合を考える。すなはち抵抗特性を

$$S^1: i_R^2 + u_R^2 = 1$$

と仮定する。

明らかに  $\sum \cong S^1$  である。したがって

二の回路は自動的に相反である。

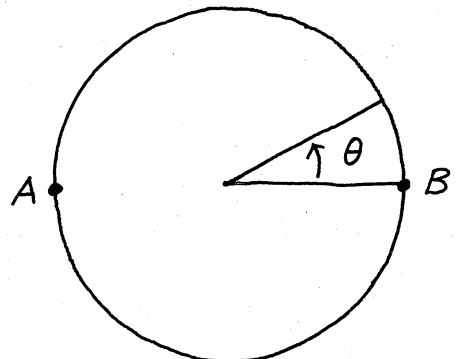
$$\omega = e^* \eta$$

$$\eta = u_R di_R + d(u_C i_C)$$

$$\iota: \sum \xrightarrow{\text{inclusion}} \mathbb{R}^4$$

であることに注意する。

$$K = \{ (u_R, u_C, i_R, i_C) \mid u_R + u_C = 0, i_R - i_C = 0 \}$$



であるから

$$\eta|_K = -i_R du_R$$

したがって極座標で用いると

$$\omega = -\sin \theta \frac{\partial}{\partial \theta} \cos \theta d\theta = \sin^2 \theta d\theta$$

となりこれは大域的にうまく定義されていき。ところでも

$$G = C d\phi_C \otimes d\phi_C$$

であるから $\theta$ を用いると

$$\pi^* G = C \sin^2 \theta d\theta \otimes d\theta$$

となりこれは図中点A,Bでsingularである。回路のダイナミクスを考える前に $\omega$ がexactでないことに注意する。

$$\int_0^\theta \sin^2 \theta d\theta = \frac{1}{2} \theta - \frac{1}{4} \sin 2\theta.$$

さて回路のダイナミクスは

$$\sin^2 \theta (C \frac{d\theta}{dt} - 1) = 0.$$

これより回路の状態は (a)  $\sin^2 \theta = 0$  あるいは (b)  $\frac{d\theta}{dt} = \frac{1}{C}$  つまり定められる。

(a)  $\sin^2 \theta = 0$  により定まる場合

$$t = t_0 \text{ で } \theta(t_0) = n\pi, n \in \mathbb{Z} \text{ すなはち } u_R(t_0) = u_C(t_0) = 1,$$

$i_C(t_0) = i_R(t_0) = 0$  とするとこの状態は Kirchhoff の法則

と両立し  $u_R(t) = u_C(t) \equiv 1, i_C(t) = i_R(t) \equiv 0$  は解となる。

(b)  $\frac{d\theta}{dt} = \frac{1}{c}$  より定まる場合

$$\theta(t) = \frac{1}{c}(t - t_0) + \theta_0$$

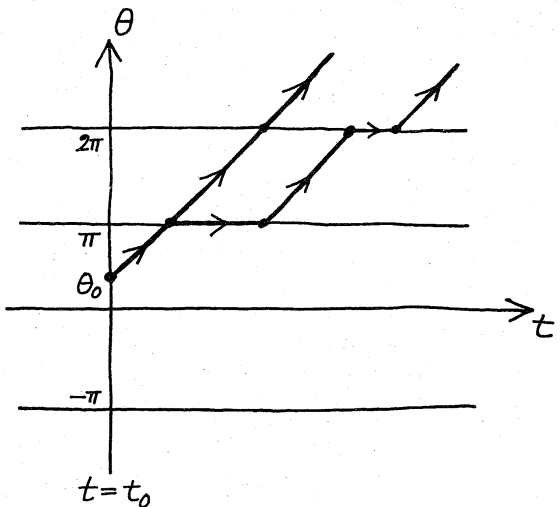
以上のことより  $t = t_0$  で  $\theta(t_0) = \theta_0$  であるこの回路の状態

$$\text{は } \theta(t) = \frac{1}{c}(t - t_0) + \theta_0 \text{ に}$$

従うか  $\theta(t) = n\pi, n \in \mathbb{Z}$

にあいて (d) により解 a

- 意性が保証されない。



### 3. ベクトル場の正則化の実現法

(2,3) の例で  $\pi^*G$  に singularity の生じる例をあげたが  
これは次の命題を構成的方法で証明しよう。

(3.1) 抵抗特性が

(a) 電圧制御型 :  $i_p = g(v_p)$  あるいは

(b) 電流制御型 :  $v_p = f(i_p)$

のどちらか（回路には両者の抵抗を含んでよい）である回路  
は適当にインダクタまたはキャパシタを付加することにより  
回路を正則化 (regularization) できる。

二の命題は直接証明してもよいが、ここでは次の 2 の命題に別けて証明する。

(3.2) 有限個の素子からなる任意の回路はキャパシタ、インダクタを適当に付加して (Forced degeneracy のある回路では除去することも考えて), 完全回路とすることができる。

(3.3) 完全回路で抵抗特性が (3.1) の条件を満す回路は正則化可能である。

完全回路 (complete circuit) とは Kirchhoff の法則  $\sum i = 0$ ,  $\sum V = 0$  が次の形で表現できること tree の存在する回路をいう [4, p. 84]。

$$\text{tree voltage sources (V): } i_V + F_{VR} i_R + F_{VL} i_L + F_{VI} i_I = 0$$

$$\text{tree capacitors (C): } i_C + F_{CR} i_R + F_{CL} i_L + F_{CI} i_I = 0$$

$$\text{tree resistors (G): } i_G + F_{GL} i_L + F_{GI} i_I = 0$$

$$\text{link resistors (R): } v_R - F'_{VR} v_V - F'_{CR} v_C = 0$$

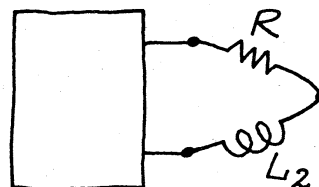
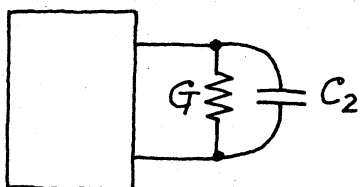
$$\text{link inductors (L): } v_L - F'_{VL} v_V - F'_{CL} v_C - F'_{GL} v_G = 0$$

$$\text{link current sources (I): } v_I - F'_{VI} v_V - F'_{CI} v_C - F'_{GI} v_G = 0$$

$F_{GR} = 0$  であることに注意する。なお 記法については R.A. Rohrer [5] 第 14 章 参照。

## (3.2) の 証明 の 概要.

- (i) まず forced degeneracy の生じている回路では キャパシタの上に loop あるいは インダクタの上に cutset が存在する。そこで キャパシタの上に loop からは loop を構成するキャパシタのいずれか 1つを取り去り(開放除去), インダクタの上に cutset ではいずれか 1つのインダクタを短絡除去することにより forced degeneracy を生じない回路にする
- (ii) ここで一般性を失うことなく回路は最初から forced degeneracy のないものと仮定してよい。このとき proper tree (電圧源, キャパシタを tree branches と, 電流源とインダクタを cotree links と含む tree のこと)。forced degeneracy のない回路ではこのような tree の存在することが証明でき(5] Ch.14) を 1つ選んで Kirchhoff の法則:  $\sum_i i = 0$ ,  $\sum V = 0$  を書き下す。これは前10-3の式で  $F_{GR} \neq 0$  のときとなる。
- (iii) 次に tree resistors ( $G$ ) には並列に キャパシタ ( $C_2$ ) を, link resistors ( $R$ ) には直列に インダクタ ( $L_2$ ) を付加する。  
以上の手順により回路は完全となる。



## (3.3) の証明の概要

完全回路であることより Kirchhoff の法則を次式で表わす  
二つめの tree が存在する。

$$\text{tree voltage sources (V): } i_V + F_{VR1} i_{R1} + F_{VR2} i_{R2} + F_{VL} i_L + F_{VI} i_I = 0$$

$$\text{tree capacitors (C): } i_C + F_{CR1} i_{R1} + F_{CR2} i_{R2} + F_{CL} i_L + F_{CI} i_I = 0$$

$$\text{tree resistors (G}_1\text{): } i_{G1} + F_{G1L} i_L + F_{G1I} i_I = 0 \quad (\text{voltage controlled})$$

$$\text{tree resistors (G}_2\text{): } i_{G2} + F_{G2L} i_L + F_{G2I} i_I = 0 \quad (\text{current controlled})$$

$$\text{link resistors (R}_1\text{): } v_{R1} - F'_{VR1} v_V - F'_{CR1} v_C = 0 \quad (\text{voltage controlled})$$

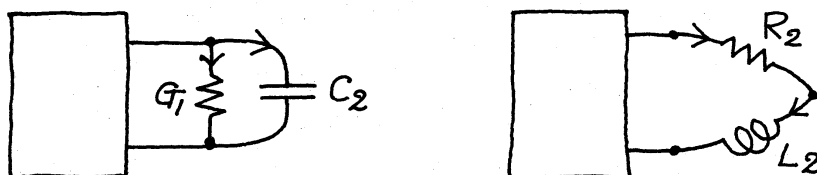
$$\text{link resistors (R}_2\text{): } v_{R2} - F'_{VR2} v_V - F'_{CR2} v_C = 0 \quad (\text{current controlled})$$

$$\text{link inductors (L): } v_L - F'_{VL} v_V - F'_{CL} v_C - F'_{G1L} v_{G1} - F'_{G2L} v_{G2} = 0$$

$$\text{link current sources (I): } v_I - F'_{VI} v_V - F'_{CI} v_C - F'_{G1I} v_{G1} - F'_{G2I} v_{G2} = 0$$

ここで tree (link) resistors は電圧制御型、電流制御型に分け  
て表現した。すなわち抵抗特性はそれそれ次のようく定義されてい  
るものとする:  
 $i_{G1} = \hat{i}_{G1}(v_{G1})$ ,  $v_{G2} = \hat{v}_{G2}(i_{G2})$   
 $i_{R1} = \hat{i}_{R1}(v_{R1})$ ,  $v_{R2} = \hat{v}_{R2}(i_{R2})$ .

$G_1$  は並列にキャパシタ ( $C_2$ ) を、 $R_2$  は直列にインダクタ  
( $L_2$ ) をつけて



できあがった回路の Kirchhoff の法則は次式となる:

KIRCHHOFF'S LAWS FOR REGULARIZED CIRCUITS

tree voltage sources (V):	$i_V + F_{VR1}i_{R1}$	$+ F_{VL2}i_{L2}$	$+ F_{VL}i_L$	$+ F_{VI}i_I = 0$
tree capacitors (C):	$i_C + F_{CR1}i_{R1}$	$+ F_{CL2}i_{L2}$	$+ F_{CL}i_L$	$+ F_{CI}i_I = 0$
tree capacitors ( $C_2$ ):	$i_{C2} + F_{C2R1}i_{R1}$	$i_{G1} + F_{C2L2}i_{L2}$	$+ F_{C2L}i_L$	$+ F_{C2I}i_I = 0$
tree resistors ( $R_2$ ):	$i_{R2}$	$- i_{L2}$		$= 0$
tree resistors ( $G_2$ ):	$i_{G2}$	$+ F_{G2L2}i_{L2}$	$+ F_{G2L}i_L$	$+ F_{G2I}i_I = 0$
link resistors ( $R_1$ ):	$v_{R1} - F'_{VR1}v_V - F'_{CR1}v_C - F'_{C2R1}v_{C2}$			$= 0$
link resistors ( $G_1$ ):	$v_{G1}$	$- v_{C2}$		$= 0$
link inductors ( $L_2$ ):	$v_{L2} - F'_{VL2}v_V - F'_{CL2}v_C - F'_{C2L2}v_{C2}$	$+ v_{R2} - F'_{G2L2}v_{G2} = 0$		
link inductors (L):	$v_L - F'_{VL}v_V - F'_{CL}v_C - F'_{C2L}v_{C2}$	$- F'_{G2L}v_{G2} = 0$		
link current sources (I):	$v_I - F'_{VI}v_V - F'_{CI}v_C - F'_{C2I}v_{C2}$	$- F'_{G2I}v_{G2} = 0$		

キャパシタ、インダクタ特性

$$C_C \frac{dU_C}{dt} = i_C \quad , \quad C_{C2} \frac{dU_{C2}}{dt} = i_{C2}$$

$$L_L \frac{di_L}{dt} = U_L \quad , \quad L_{L2} \frac{di_{L2}}{dt} = U_{L2}$$

および "抵抗特性"

$$i_{G1} = \hat{i}_{G1} (U_{G1}) = \hat{i}_{G1} (U_{C2})$$

$$U_{G2} = \hat{U}_{G2} (-F_{G2L2} i_{L2} - F_{G2L} i_L - F_{G2I} i_I)$$

$$i_{R1} = \hat{i}_{R1} (F'_{C2R1} U_{C2} + F'_{CR1} U_C + F'_{VR1} U_V)$$

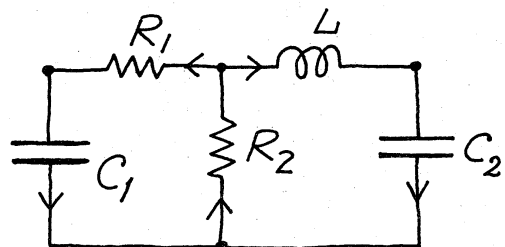
$$U_{R2} = \hat{U}_{R2} (i_{R2}) = \hat{U}_{R2} (i_{L2})$$

を Kirchhoff の法則に代入して、具体的に回路方程式を得る。

この構成法より明らかのように回路は  $\pi^*G$  が singularity である

生じないようにならん形された。

### (3.4) 正則化の例



1例として左図の回路を考える。

Kirchhoff の法則は

$$i_{C1} - i_{R1} = 0$$

$$i_{C2} - i_L = 0$$

$$i_{R2} - i_{R1} - i_L = 0$$

$$U_{R1} + U_{R2} + U_{C1} = 0$$

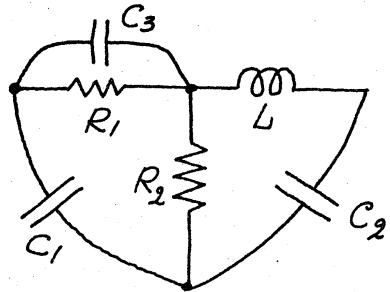
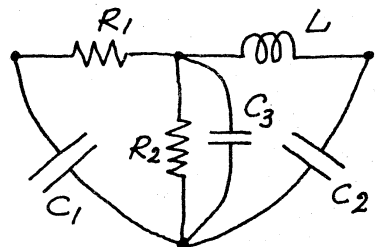
$$U_L + U_{R2} + U_{C2} = 0$$

抵抗特性として

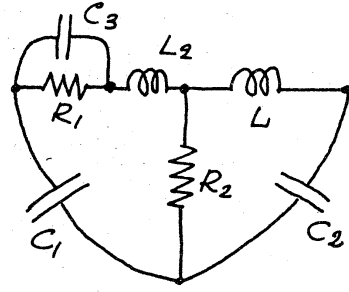
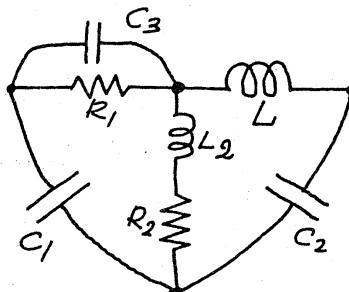
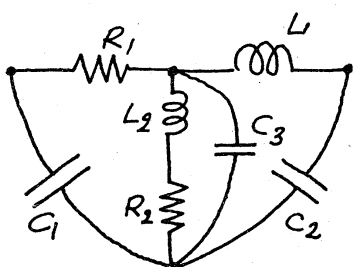
- |                            |                             |                              |                             |
|----------------------------|-----------------------------|------------------------------|-----------------------------|
| (i) $i_{R1} = g_1(U_{R1})$ | (ii) $i_{R1} = g_1(U_{R1})$ | (iii) $U_{R1} = f_1(i_{R1})$ | (iv) $U_{R1} = f_1(i_{R1})$ |
| $i_{R2} = g_2(U_{R2})$     | $U_{R2} = f_2(i_{R2})$      | $i_{R2} = g_2(U_{R2})$       | $U_{R2} = f_2(i_{R2})$      |

を考える。いずれも非線形性が強くなると  $\pi^*G$  が singular となる点の生じることがあり得る。各場合に正則化を施した後の回路を次頁に示す。

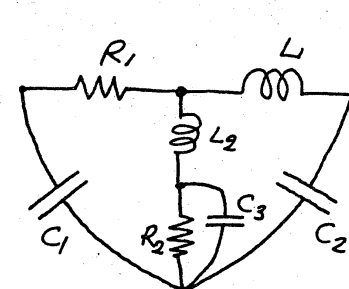
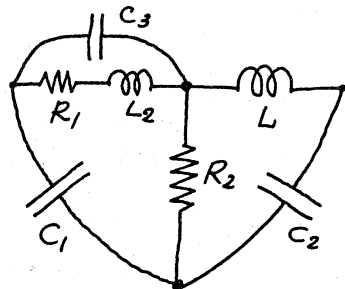
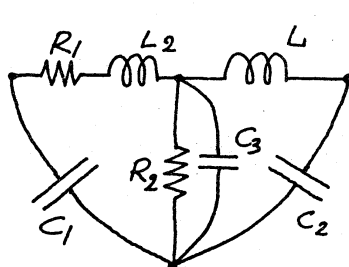
(i) の場合:

 $C_3$  の 1 つ  $\neq 3$  regularization

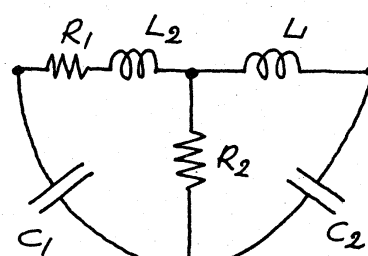
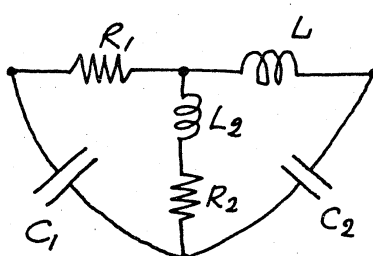
(ii) の場合:

 $C_3$  と  $L_2$  の 1 つ  $\neq 3$  regularization

(iii) の場合:

 $C_3$  と  $L_2$  の 1 つ  $\neq 3$  regularization

(iv) の場合:

 $L_2$  の 1 つ  $\neq 3$  regularization

#### 4. むすび

この報告は RC 回路で抵抗特性の非線形性により回路のダイナミクスに特徴のある回路の例をあげた。正則化に関しては (3.1) の結果は E. Ihrig [6] の Theorem (2.3) と同じである。ただ付加するキャパシタ、インダクタの数は我々の方では 3 つにない正則化においている。

#### 謝辞

回路例 (2.3) のダイナミクスについては集会に参加された諸氏より有益なコメントをいただいた。特に東北大・中島文雄氏より  $\sin^2 \theta (\dot{C}\theta + 1) = 0$  の解に関する注意をいただいた。ここにお礼申し上げます。

#### 文献

- [1] S. Smale : On the mathematical foundations of electrical circuit theory , J. Diff. Geometry, 7 (1972) 193-210.
- [2] 松本隆 : 電気回路網のダイナミクスについて , 講究録 254.
- [3] 伊藤敏和 : 電気回路の力学系 , " . "
- [4] R.K. Brayton and J.K. Moser : A theory of nonlinear networks II , Quart. Appl. Math., 22 (1964) 81-104.
- [5] R.A. Rohrer : 回路理論 , 学術社.
- [6] E. Ihrig : The regularization of nonlinear electrical circuits, P.A.M.S. 47-1 (1975) 179-183.